

锂-7 与某些裂变产物和 反应堆腐蚀产物的分离

叶明吕 唐静娟 何阿弟 尹 明 許懷忠

刘家瑞 白希清 俞譽福 金忠翻 秦啓宗

(复旦大学)

本文分别以放射性核素¹³⁷Cs(I)、⁶⁰Co(II)、⁵¹Cr(III)和¹⁴⁴Ge(IV)代表不同价态的裂变产物和反应堆材料腐蚀产物，选用732#强酸性阳离子交换树脂，测定了Li以及这些核素在不同的硝酸浓度下的分配系数与分离系数。研究了⁷Li与上述核素的各种分离条件和影响因素。此外，还研究了用无机离子交换剂(磷酸锆)分离提纯⁷Li的各种条件。测定了将洗脱液LiNO₃~HNO₃溶液用电渗析法转化为LiOH的各种影响因素，并确定了分离和转型的最佳条件，得到了放化纯的LiOH。

引言

锂-7是用于原子能工业的价格昂贵的材料。用离子交换法分离碱金属和其他金属离子已得到较多的研究^[1~4]，但如何实现锂-7与某些裂变产物和反应堆金属材料腐蚀产物的分离，并转化成氢氧化锂的形式回收使用，至今未见报道。本文的目的是，研究如何从吸附了锂-7和某些裂变产物以及反应堆材料腐蚀产物，并达到吸附饱和的离子交换树脂柱上分离和回收锂-7。为此，采用有机离子交换树脂和无机离子交换剂、以硝酸溶液为洗脱剂的离子交换法，并用电渗析法将所提取的LiNO₃转化为LiOH。

实验部分

一、主要试剂与仪器

1. 732#强酸性阳离子交换树脂：Na⁺型，30~40目，上海树脂厂出品，经处理转为H⁺型。
2. 磷酸锆：自制，选用40~75目的颗粒。
3. LiNO₃及其他化学试剂均系分析纯。
4. 放射性核素：¹³⁷Cs、⁶⁰Co、⁵¹Cr、¹⁴⁴Ge等均由中科院原子能研究所提供。
5. 离子交换柱：玻璃制，高10厘米，直径0.8厘米。
6. 火焰光度计：用单色仪、火焰燃烧器，光电倍增管(GDB 44)和检流计(灵敏度为10⁻⁹毫安)等部件自己装制。
7. β测量装置：GM计数管和FH-408百万进位定标器。

8. γ 测量装置：单道脉冲分析器及井型 NaI 晶体探头。

9. 电渗析器：两膜三室。采用磺化聚三氟苯乙烯的阳离子交换膜(SF-1) 和阴离子交换膜(SF-2)。以二氧化钌(金属钛板表面涂 RuCl₃ 并在 420℃下加热而成)为阳极，不锈钢为阴极。膜和极板的有效面积为 7 厘米 × 7 厘米(0.49 分米²)。

二、分析方法

1. 锂的分析用火焰光度计，波长 6708 Å。

2. ¹³⁷Gs、⁶⁰Co、¹⁴⁴Ge 的放射性强度测量用 β 测量装置，⁵¹Cr 用 γ 测量装置测量。

三、实验方法

1. Li 的分配系数 K_d 的测定：称取 0.1900~0.2100 克 H⁺ 型树脂数份置于 4 个磨口离心试管中，然后分别加入 5.00 毫升 LiNO₃ 溶液，该溶液 Li 的浓度为 400 微克/毫升，硝酸浓度分别为 0.30N、0.50N、1.00N、2.00N。振荡 3 小时即达平衡。然后分析溶液中 Li 的浓度，并计算 K_d 值。

$$K_d = \frac{\text{每克树脂中 Li 的量}}{\text{每毫升溶液中 Li 的量}}$$

2. ¹³⁷Gs(I)、⁶⁰Co(II)、⁵¹Cr(III) 的分配系数的测定：称取一定量树脂数份，分别与硝酸浓度为 0.30N、0.50N、1.00N、1.50N 的 ¹³⁷Gs(或 ⁶⁰Co、⁵¹Cr) 溶液振荡平衡。测量平衡前后溶液中的放射性比度，并计算 K_d 值。

$$K_d = \frac{\text{每克树脂中每分钟的放射性计数}}{\text{每毫升溶液中每分钟的放射性计数}}$$

3. Li、Gs、Co 在磷酸锆和 0.5NHNO₃ 溶液间的分配系数的测定：方法同上。

4. Li 与 ¹³⁷Gs 及其他核素的分离：料液中含有 Li 和 ¹³⁷Gs 或根据分离要求而含有其他核素。其中 Li 的浓度较大(6.9 毫克/毫升)，而 ¹³⁷Gs 等放射性核素为示踪量，有的核素还含有微量载体。这些核素在溶液中均以阳离子状态存在，即 Li⁺(以天然 Li 代 ⁷Li)、⁶⁰Co²⁺、⁵¹Cr³⁺ 和 ¹⁴⁴Ge³⁺(均以硝酸盐形式加入溶液)。称取 2 克 H⁺ 型树脂湿法装柱。将含有 Li 和 ¹³⁷Gs(或其他核素)的溶液上柱吸附，直至有 ¹³⁷Gs 穿漏为止。在这个“吸附柱”下面串联一个“分离柱”(H⁺ 型树脂)，然后用 0.50N HNO₃ 淋洗 Li⁺，待 Li⁺ 全部淋出后，改用 1.0N HNO₃ 淋洗 ¹³⁷Gs。分析、测量淋出液中 Li 的浓度和放射性强度，绘制淋洗曲线。

5. 用磷酸锆分离 Li-Gs：称取 1.000 克磷酸锆湿法装于高 4.5 厘米、直径 0.62 厘米(H/φ=7:1)的玻璃交换柱中。上柱料液组成为 0.5N HNO₃-0.3N LiNO₃-345 微克 Gs/毫升(载体)-¹³⁷Gs(指示剂)，流速为 0.6 厘米/分，Li⁺ 从柱中流出，Gs⁺ 被磷酸锆吸附。这样，Li、Gs 即可分离。在同样实验条件下，用流出曲线法测定磷酸锆对 Gs 的饱和交换容量。用类似的方法还研究了各种因素对磷酸锆工作交换容量的影响。

6. 用电渗析法将 LiNO₃ 转化为 LiOH；电渗析装置示意图见图 1。LiNO₃ 料液以一

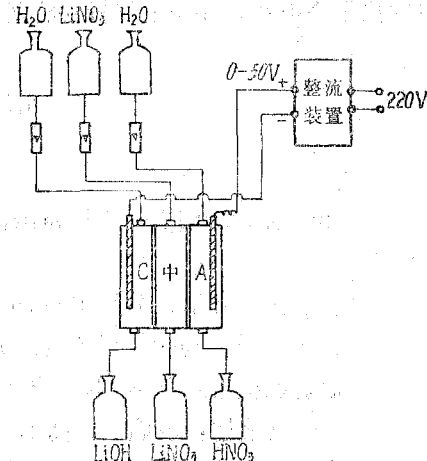


图 1 电渗析装置示意图

定流速注入中间室，同时以一定流速向阳极室和阴极室加入蒸馏水，控制适当的电流密度。阳极室流出液为 HNO_3 ，中间室流出液为剩余的 $LiNO_3$ （重复使用），阴极室流出液即为纯的 $LiOH$ 。

结果与讨论

一、用离子交换树脂分离

1. Li 以及某些核素的分配系数与分离系数 Li 和某些核素在 732# 阳离子交换树脂和不同浓度的硝酸溶液间的分配系数列于表 1，其相应的分离系数列于表 2。

表 1 Li 和某些核素的分配系数

K_d	HNO_3, N	0.30	0.50	0.70	1.00	1.50
Li		9.3	5.8	—	3.4	—
^{137}Cs		53.3	29.2	18.5	9.3	5.5
^{60}Co		244	91	46	25	12
^{51}Cr		2344	775	290	103	34.8

表 2 Li 与某些核素的分离系数

HNO_3, N	0.30	0.50	1.00
α_{Cs-Li}	5.7	5.0	2.7
α_{Co-Li}	26.2	15.7	7.4
α_{Cr-Li}	252.0	133.6	30.3

从表 2 可见，若用 0.50N 或 0.30N HNO_3 为淋洗液，则 Li - Gs 可得分离。显然， Li 与其他核素就更能得到分离。

2. 酸度对 Li 从树脂上洗脱的影响 当树脂柱被 Li^+ 吸附饱和后，用不同浓度的硝酸溶液将 Li^+ 完全洗脱所需的淋洗液体积列于表 3。

3. 酸度对 ^{137}Cs 从树脂上洗脱的影响 当树脂柱吸附 ^{137}Cs 后，用不同浓度的硝酸溶液淋洗，至 ^{137}Cs 刚开始淋出时，所需的淋洗液体积列于表 3。

表 3 酸度对 Li^+ , ^{137}Cs 从树脂上洗脱的影响

淋洗液 硝酸浓度, N	0.30	0.50	0.70
将 Li^+ 完全洗脱所需的淋洗液体积，柱体积	8	6	5
淋洗至 ^{137}Cs 刚开始淋出时所需的淋洗液体积，柱体积	16	8	5.5
从 Li^+ 完全洗脱至 ^{137}Cs 开始淋出的淋洗液体积间隔，柱体积	8	2	0.5

1 个柱体积为 5.0 ml。

从上述 2、3 两点 Li^+ 、 Gs^+ 分别吸附和洗脱的结果可见，若用 0.30N HNO_3 淋洗，虽然从 Li^+ 完全洗脱至 ^{137}Cs 刚开始淋出的体积间隔较大（8 个柱体积）， Li^+ - Gs^+ 可得很好分离，但将 Li^+ 完全洗脱所需的淋洗液体积也较大（8 个柱体积）。如用 0.70N HNO_3 淋洗，则从 Li^+ 完全洗脱至 ^{137}Cs 开始淋出的体积间隔太小（只有 0.5 个柱体积），因而 Li^+ - Gs^+ 不能很好分离。所以，用 0.50N HNO_3 淋洗 Li^+ 较为合适，只需 6 个柱体积淋洗液即可将

Li^+ 完全洗脱，而且在间隔 2 个柱体积后 ^{137}Cs 才开始被淋出，所以 Li^+-Cs^+ 可分离得很好，这点从表 2 的 Li^+-Cs^+ 分离系数也可看出。

4. Li-Cs 的分离 (1)“吸附柱”与“分离柱”的树脂装量为 1:1(均为 2 克 H^+ 型树脂)。 Li^+-Cs^+ 混合上柱吸附后，先用 0.50N HNO_3 淋洗，流速为 1 柱体积/分，将 Li^+ 完全洗脱需 7 柱体积。在 Li^+ 完全洗脱后继续用 4 柱体积 0.50N HNO_3 淋洗， ^{137}Cs 才开始淋出。这时，改用 1.0N HNO_3 淋洗，约用 8 柱体积即可将 ^{137}Cs 完全淋洗下来。淋洗曲线示于图 2。

(2) 若“吸附柱”与“分离柱”的树脂装量为 1:1.5(2 克:3 克)，则 $\text{Li}-\text{Cs}$ 分离的淋洗液体积间隔由 4 柱体积增大至 6 柱体积。见图 3。

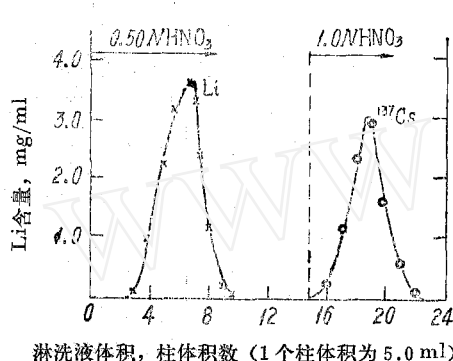


图 2 Li-Cs 分离淋洗曲线(1)

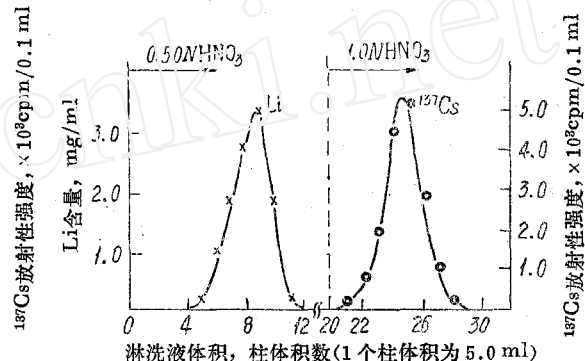


图 3 Li-Cs 分离淋洗曲线(2)

5. Li-Co 的分离 “吸附柱”与“分离柱”的树脂装量比为 1:0.5(2 克:1 克)。 $\text{Li}^+-\text{Co}^{2+}$ 混合上柱吸附后，用 0.50N HNO_3 淋洗，约用 7 柱体积即可将 Li^+ 完全淋洗下来。接着，继续用 0.50N HNO_3 淋洗 6 柱体积， ^{60}Co 仍不被淋洗出来。可见，用 0.50N HNO_3 淋洗时，二价核素难以洗脱。

6. $\text{Li}-^{137}\text{Cs}-^{60}\text{Co}-^{51}\text{Cr}-^{144}\text{Ce}$ 的分离 “吸附柱”与“分离柱”的树脂装量为 1:1.5。上柱吸附后，分别以 0.50N、1.0N、1.5N 以及 2.0N 和 3.0N HNO_3 来淋洗 $\text{Li}^+、^{137}\text{Cs}^+、^{60}\text{Co}^{2+}$ 以及 $^{51}\text{Cr}^{3+}$ 和 $^{144}\text{Ce}^{3+}$ 。从图 4 的淋洗曲线可见，Li 与其他核素能很好地分离。

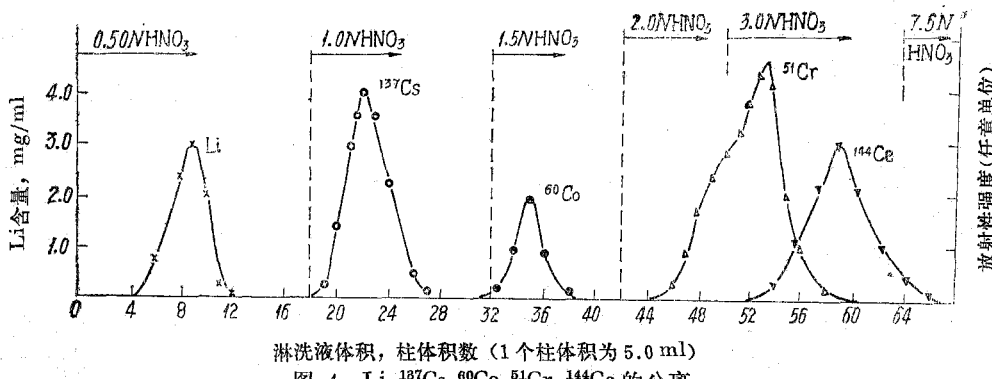


图 4 $\text{Li}-^{137}\text{Cs}-^{60}\text{Co}-^{51}\text{Cr}-^{144}\text{Ce}$ 的分离

7. Li 的回收率 实验测得 RH 型树脂被 Li^+ 吸附饱和后，树脂上 Li^+ 的(交换)容量为 4.7 毫克当量 $\text{Li}/\text{克干树脂}$ 。用 0.50N HNO_3 淋洗，洗脱下来的 Li^+ 的量为 4.60~4.69

毫克当量 Li/克干树脂，所以 Li 的回收率为 98%。

8. Li 的去污因数 在离子交换分离的“吸附柱”上柱料液(共 40 ml)中，放射性浓度为 3×10^5 计数/分·毫升。离子交换分离后所得到的 LiNO_3 溶液为 40 ml，取 25 ml 该溶液蒸干制源后进行测量，结果测不出放射性。(测量仪器的本底为 18 计数/分)。可见，Li 的去污因数大于 10^5 。

二、用无机离子交换剂分离

当“吸附柱”被一定量的 Li^+ 以及少量 ^{137}Cs 和其他放射性核素吸附饱和后，用 $0.50N\text{ HNO}_3$ 将 Li^+ 完全洗脱时，也有一部分 ^{137}Cs 与 Li^+ 一起被洗脱。这时，选择合适的条件，也可用无机离子交换剂磷酸锆(ZP)来分离 $\text{Li}^+ - \text{Cs}^+$ 。

实验测得 Li^+ 、 ^{137}Cs 、 ^{60}Co 在磷酸锆和 $0.50N\text{ HNO}_3$ 溶液间的分配系数分别为 0.6、758 和 0.4。 Cs-Li 的分离系数为 1264。由此可见，在 $0.5N\text{ HNO}_3$ 条件下，磷酸锆(ZP)对 Cs^+ 具有特殊的吸附选择性，而 Li^+ 和 Co^{2+} 则很少被吸附。这样，当含有 $\text{Li}^+ - \text{Cs}^+$ 的溶液通过 ZP 交换柱时， Cs^+ 将被吸附而 Li^+ 流出，从而可得很纯的 LiNO_3 溶液。在分离后的 LiNO_3 溶液中测不出放射性。

用流出曲线法测得磷酸锆对 Cs 的饱和交换容量为 0.16 毫克当量(Cs)/克(干 ZP)。见图 5。

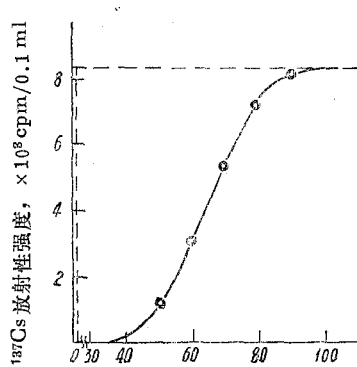


图 5 ZP 对 Cs 的饱和交换容量

为了提高 ZP 交换柱的工作效率，应使 ZP 对 Cs 的工作交换容量尽可能大些。为此，测定了各种因素对于 ZP 工作交换容量的影响。在实验中基本条件与上相同。

1. 上柱料液流速的影响

由表 3 可见，不同流速对 ZP 的工作交换容量影响很大。流速增大，交换容量显著减小，反之，流速小，工作交换容量大，但分离所需的时间较长，所以选择的流速以 0.6~1.0 厘米/分为宜。

2. 交换柱的高度(H)与直径(ϕ)比的影响

由表 4 实验结果表明，ZP 对 Cs 的工作交换容量是随着 H/ϕ 比的增大而增大，但不十分明显。

表 3 上柱料液流速对 ZP 工作交换容量的影响

流速，厘米/分	0.25	0.4	0.6	1.0	1.5	2.0	2.5
工作交换容量， 毫克当量 (Cs)/克 (干 ZP)	0.116	0.109	0.09	0.087	0.052	0.047	0.03

表 4 交换柱的 H/ϕ 比对 ZP 工作交换容量的影响

$H:\phi$	3:1	7:1	13:1
工作交换容量， 毫克当量 (Cs)/克 (干 ZP)	0.08	0.09	0.108

3. 料液中 Cs 浓度的影响 在料液流速为 1.5 厘米/分条件下测得的数据列于表 5。

表 5 Cs 的浓度对 ZP 工作交换容量的影响

料液中 Cs 浓度, 微克/毫升	10	50	100	500
工作交换容量, 毫克当量 (Cs)/克 (干 ZP)	0.015	0.044	0.053	0.12

ZP 对 Cs 的工作交换容量随着料液中 Cs 的浓度增大而增大。

4. 料液酸度的影响 在流速为 1 厘米/分的条件下, 测得的数据列于表 6。

表 6 料液酸度对 ZP 工作交换容量的影响

料液 HNO_3 浓度, N	0.50	1.0	1.5	2.0
工作交换容量, 毫克当量 (Cs)/克 (干 ZP)	0.087	0.037	0.014	0.0045

从表可见, 随着料液酸度的增大, ZP 对 Cs 的工作交换容量急剧减少。所以料液的酸度不可太大, 以 0.5N 为宜。

三、用电渗析法将 LiNO_3 转化为 LiOH

将 LiNO_3 转化为 LiOH , 若用化学方法十分麻烦, 而且产品纯度较差。本实验采用电渗析法比较简便, 而且可得高纯的 LiOH 。电渗析法是一种新的有效的分离技术, 它已广泛地应用于海水淡化、化学工业和废水处理。但有关硝酸体系的电渗析资料尚未查见。在硝酸体系中所用的离子交换膜和电极不仅要耐腐蚀, 而且抗氧化性能要好。

在本实验中研究了离子交换膜、电极材料、电流密度、料液组成和流速等影响因素。实验结果列于表 7。

表 7 Li 的电渗析试验

No.	注入中间室的 料液组成	电极材料		槽电压, 伏	中间室料 液流速, 毫升/分	极板面积, 分米 ²	电流密度, 安培/分米 ²	电流效率, %
		阳极	阴极					
1	0.3 N LiNO_3	不锈钢	铁	15	2~5	0.49	6	76
2	3 N LiNO_3 - 4 N HNO_3	二氧化钌	不锈钢	3~4	0.5~0.8	0.49	10	17
3	3 N LiNO_3 - 0.6 N HNO_3	二氧化钌	不锈钢	4~5	0.6	0.49	6	77

1. 离子交换膜的选择 离子交换膜是电渗析器的关键部分。经实验, 我们选用磺化聚三氟苯乙烯阳离子交换膜(SF-1)和阴离子交换膜(SF-2)。这种膜的特点是不但选择透过性好, 而且耐腐蚀、抗氧化性也好, 能适应 HNO_3 体系电渗析的要求。

2. 电极材料的选择 在 HNO_3 体系中, 电渗析器的阳极材料腐蚀十分严重。曾以下列材料作阳极进行了试验: 钇、钼、铅、镍、各种型号的不锈钢、各种型号的钛合金、高纯石墨、二氧化钌等。实验表明, 钇、钼、铅、镍等腐蚀都较严重, 不能使用。而不锈钢

在 HNO_3 体系中也有一定腐蚀，需经常更换。只有二氧化钌电极在 HNO_3 体系中耐腐蚀性能很好。所以，我们选用这种材料作为阳极。

3. 料液中 $LiNO_3$ 和 HNO_3 浓度的影响 从离子交换柱上淋洗下来的溶液中， $LiNO_3$ 浓度约为 0.3 N， HNO_3 约为 0.5 N。从表 7 可看出，若用 0.3 N $LiNO_3$ 溶液进行电渗析，为了使电流密度达到 6 安培/分米²，要加比较高的槽电压(15 伏)。这样对电极和离子交换膜都有很大影响。为了降低槽电压，将原来的离子交换洗脱液浓缩 10 倍后(约为 3 N $LiNO_3$ -4N HNO_3)进行试验，结果表明，槽电压可降为 3~4 伏，但电流效率和 Li 的产率均很低，只有 20% 左右，因为 HNO_3 浓度太大，大部分电流用于电解 HNO_3 。为了提高效率，采用了甲酸脱硝的方法来降低溶液中的 HNO_3 浓度。即在溶液中加入适量甲酸并加热，使硝酸分解，将其浓度降为 0.6 N。从表 7 可见，当料液组成为 3N $LiNO_3$ -0.6N HNO_3 时可得到比较满意的结果。

4. $LiOH$ 产品纯度 取 0.12 克 $LiOH$ 用酚二磺酸比色法测得 NO_3^- 的含量为 0.1 微克。所以， $LiOH$ 中 NO_3^- 的含量低于 1 ppm。

结 论

1. 研究了离子交换法分离提取⁷Li 的各种条件，结果表明，用一根阳离子树脂柱作吸附柱，吸附⁷Li 和其他核素达到饱和后，再用另一根阳离子树脂柱作分离柱与吸附柱串联，树脂装量与吸附柱相等或为吸附柱的 1.5 倍，然后，用约 8 柱体积的 0.50N HNO_3 即可将 Li 全部淋洗下来，并能很好地与其他核素分离。Li 的去污因数 > 10⁵。Li 的回收率为 98%。

2. 若“分离柱”不用阳离子交换树脂，则可用磷酸锆代替，用以分离从“吸附柱”上用 0.5N HNO_3 洗脱的 Li-Gs。

3. 用电渗析法可将 $LiNO_3$ 转化为高纯 $LiOH$ 。

本方法具有设备简单、操作方便、易于自控和产品纯度高等优点。

李启东同志参加过部分调研工作。张杏生、郭发坤同志曾参加部分实验工作。本工作曾得到有关单位的大力支持和帮助，在此表示感谢。

参 考 文 献

- [1] F. W. E. Strelow et al., *Anal. Chim. Acta*, 43, 465 (1968).
- [2] F. W. E. Strelow et al., *Anal. Chim. Acta*, 71, 123 (1974).
- [3] F. Nelson et al., *J. Chromatography*, 20, 107 (1965).
- [4] F. W. E. Strelow et al., *Anal. Chem.*, 37, 106 (1965).